Journées Techniques Acoustique et Vibration

Caractérisation de la compacité du ballast ferroviaire par méthodes sismiques

Delphine JACQUELINE

Thèse soutenue le 17 décembre 2015 et encadrée par M. Jean-Pierre MAGNAN, M. Jean-François SEMBLAT et M. Cyrille FAUCHARD

Mercredi 01 juin 2016









Plan

- Introduction
 - Contexte
 - Description du milieu
 - Ballast
 - Démarche
- 2 Expérimentations
 - Description
 - Instrumenter le ballast
 - Traitement des ondes

- Modélisation
 - Modélisations
 - Continue
 - Discrète
- Conclusions
 - Expérimentations échelle 1
 - Modèles réduits
 - Perspectives

Description du milieu étudié

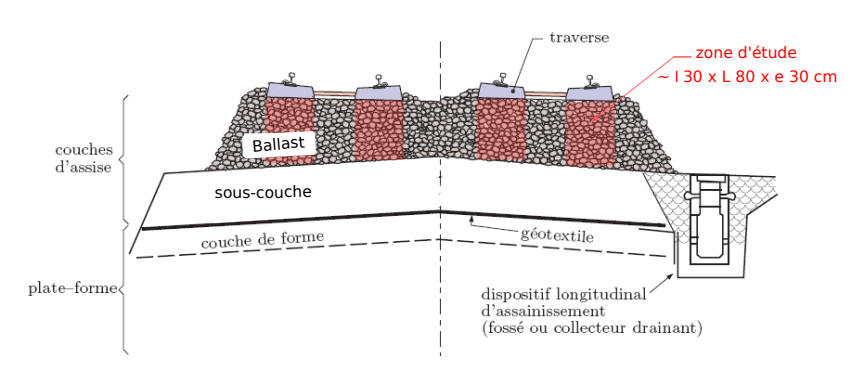
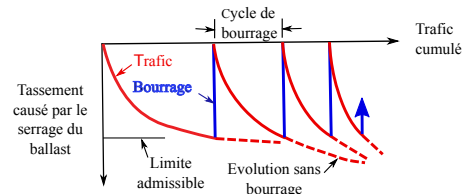


Illustration d'une structure ferroviaire - Kouroussis 2009

Besoin de caractériser la compacité du ballast?

- Serrage du ballast : paramètre ferroviaire important pour assurer qualité de l'ouvrage (défaut de serrage → diminution de vitesse de train) sécurité de l'usager,
- Étude de ce paramètre par la compacité au moyen de méthodes sismiques,
- Méthodes existantes ponctuelles et difficiles à mettre en place, littérature succincte propagation dans ballast,
- Demande forte des exploitants de voie (SNCF),
 - Vieillissement des voies (doublement de la maintenance),
 - Besoin de vérification de la mise en œuvre du ballast (ouverture des marchés), objectif de moyen (6 passages de la bourreuse) → objectif de résultats (densité),





Bourreuse (Colas Rail)

Relation tassement - bourrage

 Intérêt des méthodes non destructives (grand linéaire, zone d'études, circulation), Introduction Expérimentations Modélisation Conclusions Description du milieu Ballast Démarche

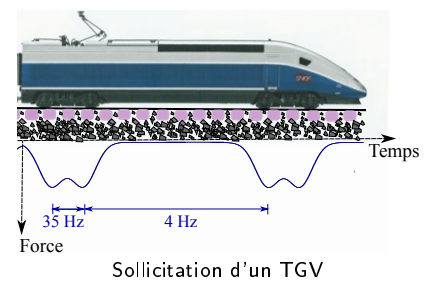
Le ballast : un milieu complexe?

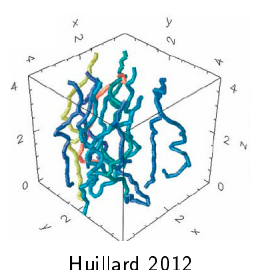
- Milieu complexe différent d'un milieu continu :
 - Éléments grossiers (25-50 / 31,5-63 mm), VER (Volume Elémentaire Représentatif), épaisseur de couche, e, faible,





 Empilement de grains soumis à la charge du train créant des chainons de force.





4 D > 4 A > 4 B > 4 B > 5 9 Q

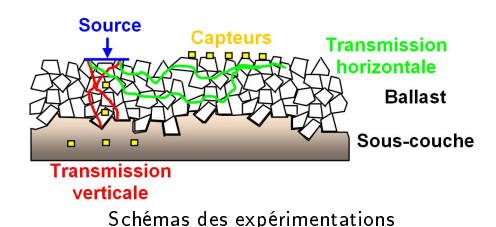
Quelle est la démarche scientifique?

Deux orientations sont envisagées :

Analyse du ballast à grande échelle : expérimentations à l'échelle 1 pour étudier sa compacité au moyen de la réfraction, la dispersion des ondes de surface et le rapport H/V → hypothèse d'un milieu continu (Payeur 2013, Zhai 2004, Bodin 2001).



Expérimentation échelle 1



Sources de faible énergie pour rester dans une réponse linéaire

→ hypothèse milieu pseudo élastique sans déplacement d'éléments.

Quelle est la démarche scientifique?

- Analyse du ballast avec un dispositif de petite dimension : expérimentation sur modèle réduit → hypothèse d'un milieu discret (Saussine 2004, Guerin 1996)
 - étudier la réponse du ballast suivant sa compacité à un effort à travers une couche de 15 et de 30 cm de ballast,
 - comparer avec une modélisation continue aux éléments finis (CESAR-LCPC) et une modélisation discrète (STTAR3D, Dimnet 2002).



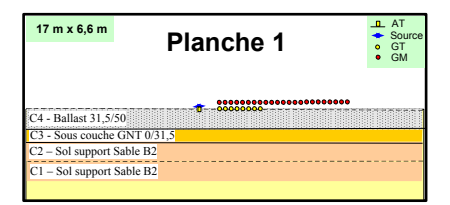
Modèle réduit

Ces comparaisons doivent permettre :

- apprécier la pertinence des méthodes de modélisation.
- aider à comprendre les phénomènes physiques.



Définir les paramètres des dispositifs sismigues.





Vue en coupe

Dispositif expérimental

30 cm de ballast compacté et foisonné				
Nb géophones	Nb essais	Sources	Offsets	Résultats
		Mantagal	15	Réfraction
8 GT	3	MarteauV Vibrateur P Vibrateur I	25 35	MASW
			45	H/Vévènement ?
			55	Pic à 1000 et 1500 Hz
	Enregistremen	ts avec sources fa	ice aux 8G3D	?
24 GM Ifsttar	Quelques essais	Vibrateur I	48	Réfraction
				MASW
Nombre d'essais = 100				

Pour étudier l'influence de l'épaisseur du ballast.

17 m x 6,6 m	laı	nche 2	AT AM Source GT GM
C6 – Ballast 31,5/50 C5 – Ballast 31,5/50 C4 – Ballast 31,5/50	9		30 cm 30 cm 30 cm
C3 - Sous couche GNT 0/3 h 5			17 cm
C2 – Sol support Sable B2			30 cm
C1 – Sol support Sable B2			30 cm

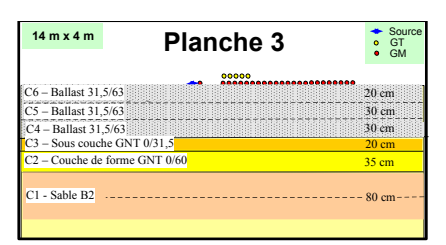


Dispositif expérimental

Vue en coupe

30 - 60 - 90 cm de ballast compacté et foisonné					
Nb géophones	Nb essais	Sources	Offsets	Résultats	
8 GT +16 GM	5	MarteauV	25	Réfraction	
		BouleP	35	MASW	
0 01 +10 0W		5 MarteauH Vibrateur P	MarteauH	45	WASVV
			55	H/Vévènement	
0.47 40.444		Vibrateur I	110	TI/ V C V C I C I I C I I C I I C	
6 AT + 10 AM					
Nombre d'essais = 750					

Pour valider les méthodes MASW et H/V BDF.



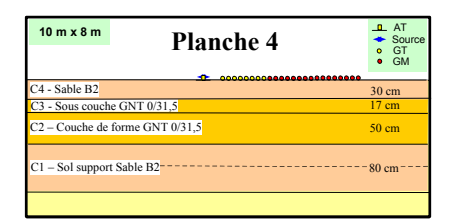


Vue en coupe

Dispositif expérimental

80 cm de ballast compacté et foisonné				
Nb géophones	Nb essais	Sources	Offsets	Résultats
24 GM	_ MarteauV	Martagul/	25	Réfraction
	5	BouleP	55	MASW
5 GT		bouler	110	H/V BDF
Nombre d'essais = 60				

Pour comparer les essais du ballast avec un milieu continu





Vue en coupe

Dispositif expérimental

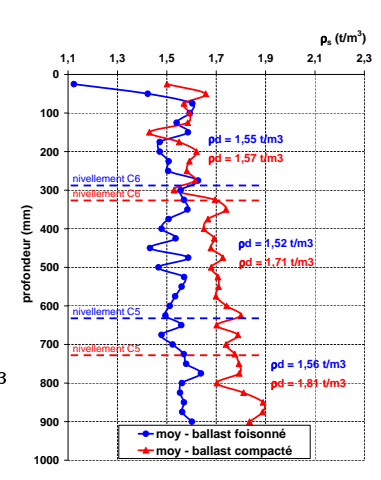
30 cm de sable compacté				
Nb géophones	Nb essais	Sources	Offsets	Résultats
			25	Réfraction
		MarteauV	35	MASW
8 GT +16 GM	5	Vibrateur P	45	
		Vibrateur I	55	
			110	
Nombre d'essais = 60				

Masse volumique mesurée par méthode nucléaire



Tassement de 4 à 10 cm ho_s augmente avec la profondeur

- ρ_s ballast compacté : 1,81 \pm 0,06 t/m^3 (épaisseur 30 cm),
- ρ_s ballast foisonné : 1,56 \pm 0,04 t/m^3 .



Masse volumique du ballast (GDS200)

Choix des capteurs

Instrumentation à la source







- permet de caractériser la source et normaliser les essais,
- utiliser le même type de capteur que le reste de la flûte sismique.
- Instrumentation en surface sur le ballast

Géophones

- GT 100 Hz sensibilité de 35 V/m/s,
- GM 4,5 Hz sensibilité de 25 V/m/s

Choix de la fixation

Optimisation de la réponse du capteur par scellement ightarrow spectre FFT



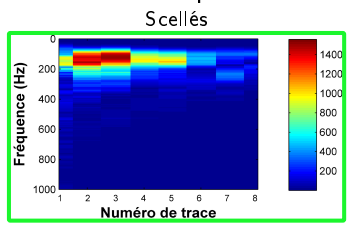




ullet Réponse aléatoire fonction des contacts o Non interprétable







• Moyenne l'effet de la transmission du signal

Choix des sources

Sources faiblement énergétiques sans panneau de voie

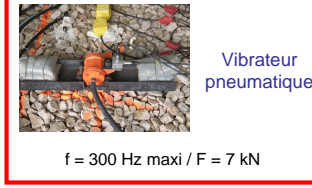




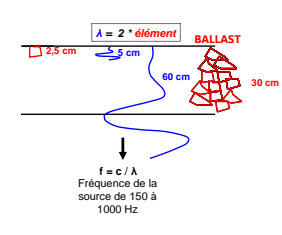






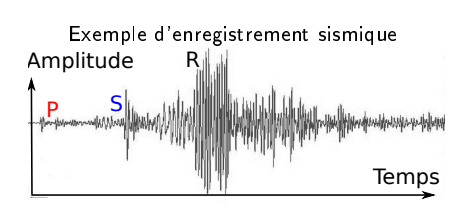


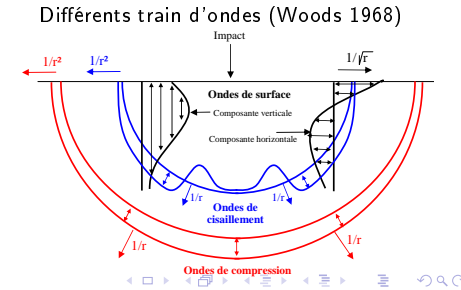
Choix des fréquences des sources et longueur d'ondes



Les différents aspects étudiés

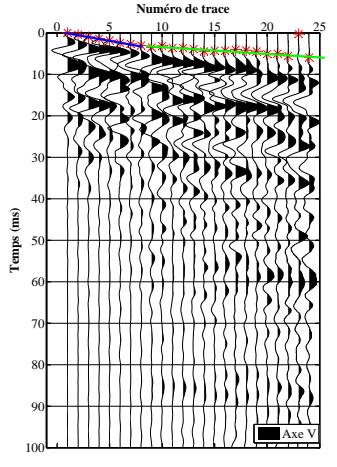
- Rapport spectral signal sur bruit
- Ondes P
 - Vitesse des ondes (directe et réfractée),
 - Amortissement des ondes.
- Ondes R
 - Courbe de dispersion,
- Analyse du signal
 - Rapport H/V évènement et bruit de fond.



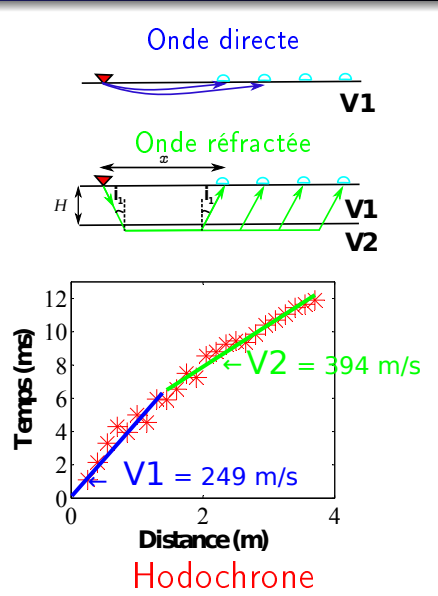


Calcul des vitesses de propagation des ondes P

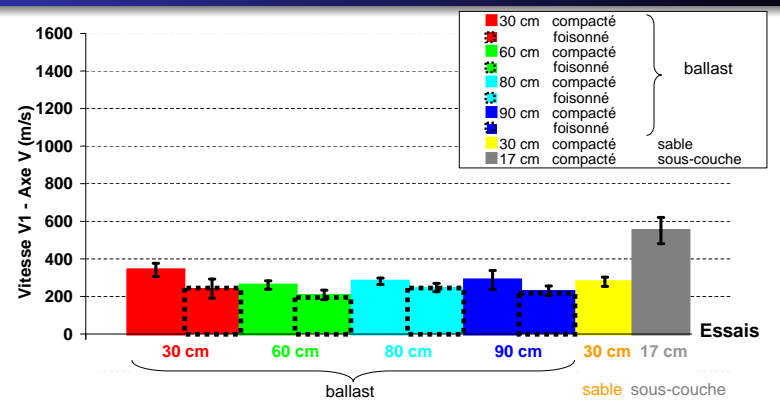
Détection de l'arrivée des ondes (5% du pic maxi)



Traces sismiques



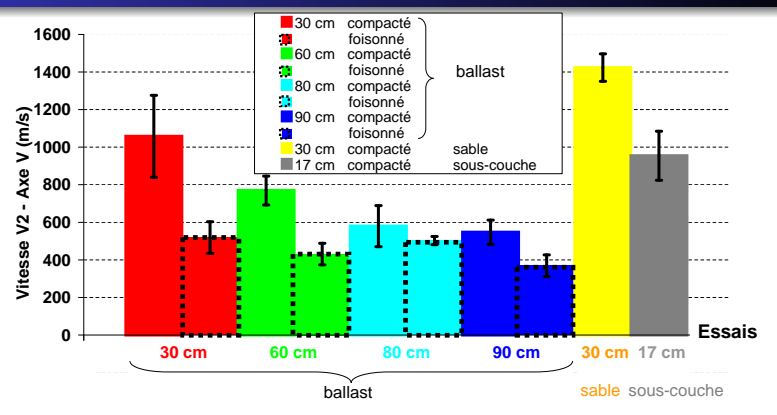
Synthèse des vitesses des ondes P directes - V1



- Nb d'essais : \simeq 300 (ρ , Offset, épaisseur, répétabilité)
- V1compacté > V1foisonné
- V1 peu dépendant de l'épaisseur.

V _P	Ballast compacté	Ballast foisonné	Sable compacté
V1 (m/s)	300 ± 40	210 ± 20	280 ± 20

Synthèse des vitesses des ondes P réfractées - V2



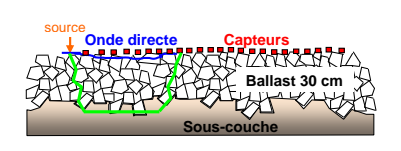
- Nb d'essais : \simeq 300 (ρ , Offset, épaisseur, répétabilité)
- V2compacté > V2foisonné
- V2 dépendant de l'épaisseur.

V_P	Ballast compacté	Ballast foisonné	Sable compacté
V2 (m/s)	750 ± 250	400 ± 100	1400 ± 70

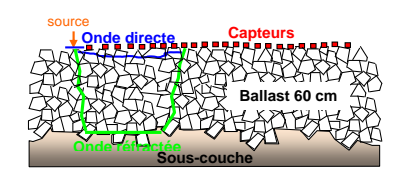
En théorie

Réfraction interface Ballast / Sous-couche

→ V2 identique quelque soit l'épaisseur de ballast



30 cm de ballast

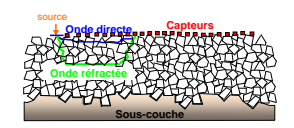


60 cm de ballast

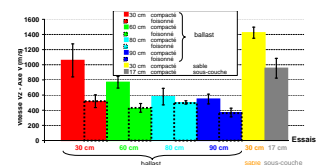
Observations non conformes à la théorie

Hypothèse

Réfraction zone de compactage dans ballast



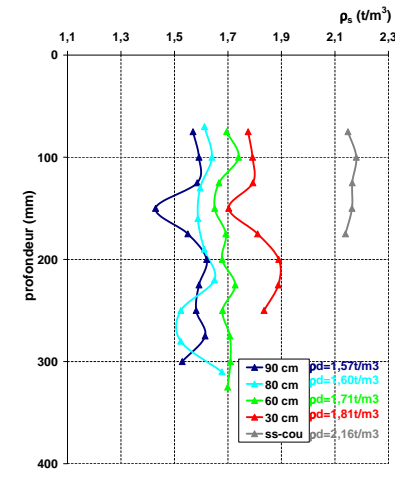
Couche de 60 cm



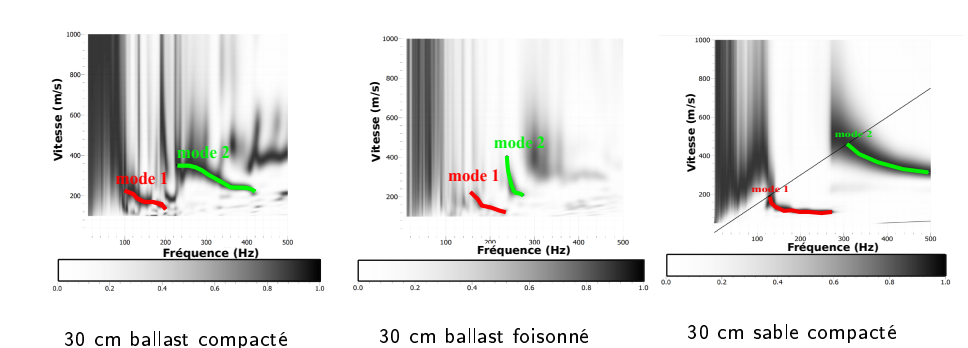
Vitesse dans ballast compacté

- V2 est influencée par l'interface sous-jacente
- \bullet \simeq V2 correspond à $\rho_d \neq$ couches,
- V2foisonné varie que V2compacté \rightarrow influence de ρ_s sur V2compacté

Masse volumique mesurée



Ondes de surface - courbe de dispersion moyenne

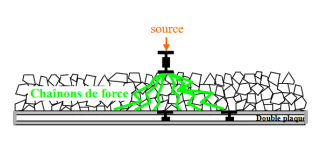


- Détection pertinente sur ballast,
- Mode 1 : V_R 50 à 150 m/s entre 100 et 200 Hz.
- Mode 2 : V_R 150 à 250 m/s entre 200 et 400 Hz.

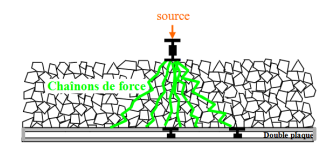


Modèle réduit

- Nécessité de comprendre les phénomènes au moyen de modélisations de faible dimension.







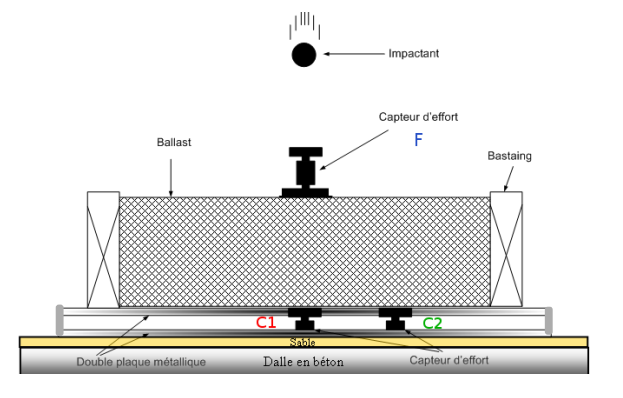
Diffraction prépondérante Rapprochement milieu continu

- Transmission d'un effort à travers une couche de ballast (C-F),
- Dispositif de faible dimension (1 m²)
 → limiter temps de calcul,
 - •

isions Modélisations Continue Discrète

Modèle réduit

Plot expérimental comparé à une modélisation continue et discrète.

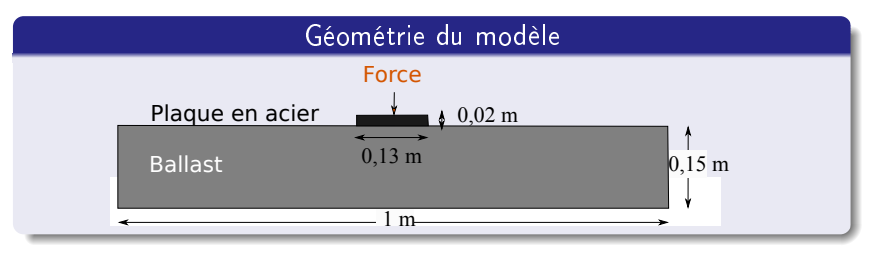


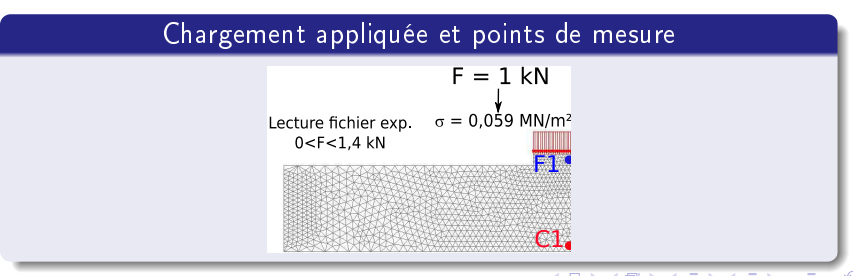
- Couche de ballast de faible dimension (1*1*0,15 et 0,30 m)
- Appui sur un support rigide, efforts sur +sieurs éléments,
- ρ_d (foisonné) = 1,51 t/m^3 , ρ_d (compacté) = 1,63 t/m^3 .

Introduction Expérimentations Modélisation Conclusions Modélisations Continue Discrète

Modèle continu

Hyp.: le ballast comme un milieu continu (CESAR-LCPC)





25

Détermination des paramètres d'amortissement de Rayleigh

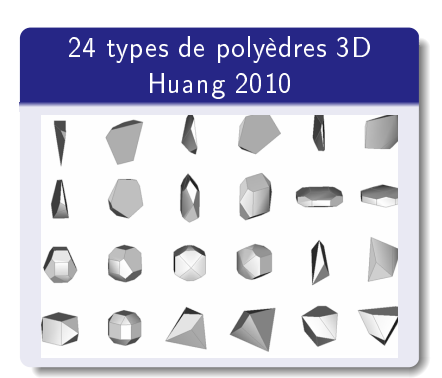
• Analyse réponse dynamique linéaire du milieu par éléments finis suivant équation d'équilibre dynamique :

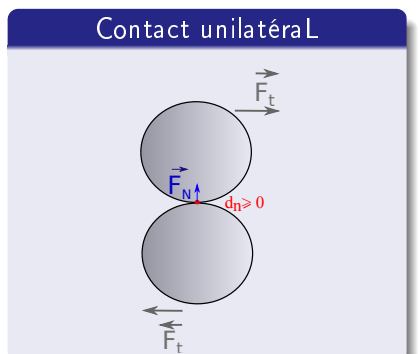
$$[M]\ddot{X}(t) + [C]\dot{X}(t) + [K]X(t) = F(t)$$

- Facon de modéliser l'amortissement
 - \rightarrow formulation de Rayleigh : $[C] = \alpha[K] + \beta[M]$
 - \rightarrow Amortissement $\eta = 2\xi = \frac{\alpha}{\omega} + \beta\omega$

Modèlisation discrète

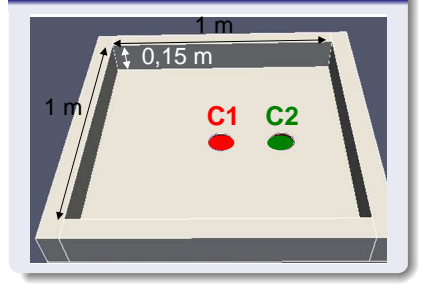
- En collaboration avec l'Ifsttar, code pour le calcul des milieux discrets (Dimnet 2002),
- Méthode de calcul de la famille des méthodes Contacts
 Dynamics (Dal-Pont and Dimnet 2004, Jean 99, Moreau 88),
- couche générée aléatoirement.



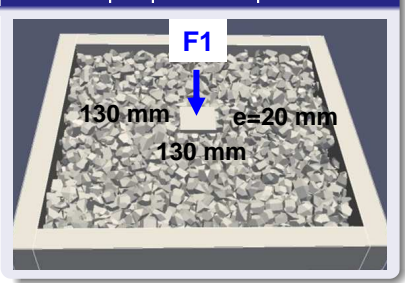


Couche granulaire modélisée

Caisson en bois de 1*1*0,15m instrumenté et modélisé



Couche granulaire modélisée avec plaque de répartition

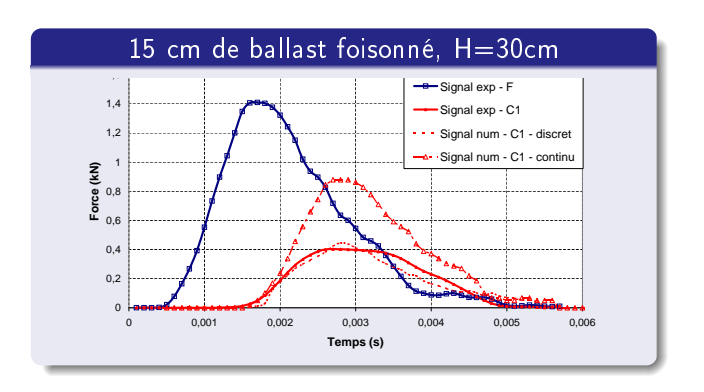


Génération de la couche granulaire

- Couche générée aléatoirement,
- Agrégats tombant avec une distance au centre de 60 mm,
- Agrégats de 20 à 60 mm (librairie Huang, 2010).



Comparaison mesure et simulation discrète/continue



C1 - 15 cm

- Modèle discret plus proche de l'expér. que le modèle continu,
- pente plus forte modélisation continue.

Introduction Expérimentations Modélisation Conclusions Expérimentations échelle 1 Modèles réduits Perspectives

Conclusions des expérimentations à grande échelle

- BDD sismique expérimentale très importante (nombre d'essais >900),
- Travail utile pour les mesures sismiques ferroviaires avec définition d'une méthodologie d'essais (24G, Scellement, écartement géophone de 15cm), Sismique = indicateur qualitatif de la compacité
 - Variation de 30 % de V_P ,
 - $V2 = f(\rho)$,
 - V1 aussi mais moins visible, pb scellement.
- Compléments pour indicateur quantifiable de la compacité,
- Ballast ≠ équations de milieu continu
 - Décroissance d'amplitude plus forte dans compacté pour certains cas.
 - Mode 1 courbe de dispersion peu visible.
- Mécanique des milieux granulaires non linéaire,

Introduction Expérimentations Modélisation Conclusions Expérimentations échelle 1 Modèles réduits Perspectives

Conclusions des modèles réduits

- Résultats similaires aux planches à l'échelle 1
 - Ballast compacté pouvant amortir plus,
 - Grande variabilité des résultats suivant les contacts,
 - Visualisation de la non linéarité du ballast.
- Néanmoins V_P plus faibles 90 à 220 m/s au lieu de 220 à 300 m/s (élastomère?),
- Paramétrage difficile de la modélisation continue,
- Modélisation discrète plus adaptée, néanmoins intégrer entrée du ballast.

Introduction Expérimentations Modélisation Conclusions Expérimentations échelle 1 Modèles réduits Perspectives

Perspectives

Grande échelle

- Modélisation des courbes de dispersion théorique en poursuivant l'étude paramétrique,
- Crosscorrélation de bruit de fond sismique (LR de Nice, D. Mercerat)
- Réponse de la traverse en fonction de ρ et e



Temps (s) - Crosscorélation



Réponse de la traverse

Modèle réduit

- Modélisation continue avec des modèles d'amortissement type NCQ,
- Intégration dans le modèle discret la réponse de l'entrée du ballast.

Merci pour votre attention! delphine.jacqueline@cerema.fr

Articles

- D. Jacqueline, C. Fauchard, J-F. Semblat et J-P. Magnan, 2014, Propagation d'ondes sismiques dans le contrôle de compactage du ballast ferroviaire, Conférence internationale Georail à Paris (France),
- D. Jacqueline, S. Hemmati, G. Vinceslas et E. Dimnet, 2014, Mesure et simulation de la propagation de vibrations à travers une couche de ballast, Conférence internationale Georail à Paris (France),
- D. Jacqueline, E. Dimnet, S. Hemmati, G. Vinceslas, 2015, Numerical modelling and experimental measurment of the propagation of a mechanical signal through a ballast layer, Panamerican conference on soils mechanics and geotechnical engineering à Buenos Aires (Argentine).